



التصنيف المظاهري والجزئي لبكتيريا *Salmonella Typhimurium* المعزولة من اسهال الأطفال في محافظة القادسية

نور سليم هاتف¹ ، أحلام علي صخي²

^{1,2}جامعة القادسية/كلية التربية/قسم علوم الحياة/احياء مجهرية
الخلاصة

هدفت الدراسة الحالية الى التوصيف المظاهري والجزئي عن بكتيريا السالمونيلا تيفيموري المعزولة من الأطفال اللذين يعانون من الاسهال مستشفىات محافظة القادسية، إذ تم جمع 200 عينة اسهال من الأطفال تتراوح اعمارهم 1-5 سنوات من كلا الجنسين، إذ تم تشخيص بكتيريا اعتماداً على التشخيص المظاهري و الكيميوي و تم تأكيدها باستعمال جهاز VITEK-2 و تقنية PCR، بالإضافة الى الكشف المظاهري عن بعض عوامل الضراوة التي تمتلكها بكتيريا السالمونيلا تيفيموري.

أظهرت نتائج العزل و التشخيص البكتيري وجود 14 عزلة عائدة لبكتيريا السالمونيلا تيفيموري، شخصت هذه العزلات مختبرياً على أوساط مختلفة منها وسط Chrome agar و وسط SS agar و وسط XLD و وسط MacConkey agar و وسط Bismuth agar و وسط Nutrient agar وبعدها شخصت مجهرياً و اجراء اختبارات الكيميويوبيا ثم تم اثبات العزلات باستعمال جهاز VITEK-2 بعدها اكدت العزلات على انها بكتيريا من خلال استعمال الجين التشخيصي 16S rRNA بتقنية PCR.

أثبتت هذه الدراسة امتلاك بكتيريا السالمونيلا تيفيموري قدرة عالية على احداث الامراض من خلال ما تمتلكه من عوامل ضراوة مختلفة و ما أكدته هذه الدراسة، إذ أظهرت النتائج ان 14 عزلة من بكتيريا *S. Typhimurium* لها القدرة بنسبة 100% على انتاج عوامل ضراوة مختلفة منها انتاج انزيمات Lipase و Protease و Hemolysin بالإضافة الى قدرتها على الالتصاق على الاسطح الخلايا الظهارية.

الكلمات المفتاحية: السالمونيلا تيفيموري: الاسهال: عوامل الضراوة: PCR: جين 16S rRNA.

Phenotypic and Molecular characterization for *Salmonella Typhimurium* isolated from children's diarrhea in Al-Qadisiyah Province.

Abstract

The current study aimed at the phenotypic and molecular characterization of *Salmonella Typhimurium* bacteria isolated from children infected with diarrhea in hospitals in Al-Qadisiyah province, where 200 diarrhea samples were collected from children aged 1-5 years of both sexes, as bacteria were diagnosed phenotypic and by biochemical tests and were confirmed using VITEK-2 and PCR technologies. In addition to the phenotypic detection of some of the virulence factors possessed by *Salmonella Typhimurium* bacteria.

The results of isolation and bacterial diagnosis showed the presence of 14 isolates belonging to *Salmonella Typhimurium* bacteria, these isolates were diagnosed in the laboratory on different media, including Chrome agar media, SS agar media, XLD medium, Bismuth agar medium, MacConkey agar media, and Nutrient agar medium, and then they were diagnosed microscopically and biochemical tests were conducted. The isolates were proven using the VITEK-2 device, after which the isolates were confirmed as *Salmonella Typhimurium* bacteria using the diagnostic gene 16S rRNA using PCR technology.

This study proved that *Salmonella Typhimurium* bacteria have a high ability to cause diseases through their various virulence factors and what was confirmed



by this study, and the results showed that 14 isolates of bacteria have with 100% ability to produce different virulence factors, including the production of Hemolysin, Protease, and Lipase enzymes, in addition to their ability to adhere to the surfaces of epithelial cells.

Keywords: *S. Typhimurium*; Diarrhea; Virulence factors; PCR; 16S rRNA gene.

Introduction

المقدمة

تعد العائلة المغوية Enterobacteriaceae احدي اكبر العوائل البكتيرية إذ تضم اكثرا من 30 جنساً و 120 نوعاً لكن 95% من السلالات البكتيرية المهمة سريرياً تقع ضمن 10% اجناس واقل من 25 نوعاً فقط، تعد هذه العائلة الأكبر والأكثر تنوعاً ضمن مجموعة البكتيريا السالبة لصبغة كرام التي لها أهمية سريرية، إذ تسبب حوالي 80% من الإصابات المرضية للإنسان والتي تشمل اخماج المسالك البولية و الاصمام الرئوية والإسهال و خمج السحايا و تعفن الدم، وتعد الاجناس البكتيرية التالية و *Salmonella* و *Shigella* و *Klebsiella* و *Escherichia* و *Proteus* و *Enterobacter* و *Yersinia* و *Citrobacter* و *Gorrasi et al.* من اكثرا الانواع البكتيرية شيوعاً من الناحية السريرية كمسببات للأمراض (2021).

أصبحت العائلة المغوية من أهم العوائل البكتيرية المرتبطة بـ تلوث الأغذية و بشكل خاص اللحوم والألبان، و تمثل أفراد هذه العائلة دليلاً على جودة الصحية للأغذية ولعمليات الإنتاج وتعد الاجناس المغوية *Salmonella* و *Proteus* و *Escherichia* و *Klebsiella* و *Citrobacter* من أكثر الملوثات البكتيرية لمنتجات اللحوم في جميع أنحاء العالم وكذلك أكثر أنواع انتشارا في جميع حالات التسمم الغذائي المرتبطة بـ المنتجات اللحوم (Mladenović et al., 2021). تشير تقارير منظمة الصحة العالمية إلى أن حوالي 600 مليون شخص من سكان العالم يصابون بالأمراض المنقلة بالغذاء سنوياً، وأن 420,000 حالة وفاة سنوياً تحدث بسبب هذه الأمراض وبالاخص المتسببة بالبكتيريا المقاومة للمضادات الحيوانية و ان هناك حاجة ملحة للسيطرة والوقاية من نقشى أمراض التسمم الغذائي المرتبطة بـ المنتجات اللحوم بسبب الزيادة الكبيرة في ارتفاع معدلاتها (Lee and Yoon, 2021) إن إمراضية البكتيريا المغوية تعتمد بشكل أساسى على وجود عوامل ضراوة متعددة كقابليتها على الالتصاق و امتلاكها مستضدات سطحية و مستضدات الكبسولة و السموم الداخلية و قابليتها على تحلل الدم و انتاجها الااغشية الحيوية بالإضافة إلى انتاجها انزيمات الضراوة المختلفة (Legba et al., 2020).

السلالمونيلا هي مشكلة صحية رئيسية في جميع أنحاء العالم تسبب داء السلالمونيلات غير التيفوئيدية (NTS) وداء السلالمونيلات التيفوئيدية. تصيب هاتان الفتنان من داء السلالمونيلات ملايين الحالات سنوياً مع خسائر اقتصادية كبيرة وحتى مهددة للحياة (Manoj et al., 2015). تعد بكتيريا السلالمونيلا من بين الأسباب الأكثر شيوعاً للأمراض التي تنتقلها الأغذية لدى البشر والحيوانات (Takele et al., 2018). تسبب السلالمونيلا غير التيفوئيدية (NTS) الأمراض المنقلة بالغذاء كعدوى معوية تعتبر المشكلة الطبية الثانية بعد عدوى الجهاز التنفسى، تتنمي هذه العدوى إلى *Salmonella enterica* التي تسبب التهاب المعدة والأمعاء الحاد وأمراض الإسهال المغوي في الحيوانات والبشر (Raffatellu et al., 2008).

مرض الإسهال هو أحد الأخطار التي تهدد صحة الإنسان ويمكن أن يتسبب في خسائر اقتصادية كبيرة من حيث كلفة العلاج والنفقات الأخرى (WHO, 2017). تحدث عدوى *S. Typhimurium* عن طريق الفم والغشاء المخاطي الجهازي، مما يتسبب في التهاب المعدة والأمعاء لدى البشر، فترة الحضانة: 48-48 ساعة؛ مدة الإصابة بالإسهال 3-7 أيام و 72 ساعة. للحمى التي تقتصر على الجهاز الهضمي مباشرة مصحوبة بإسهال مصحوب بارتفاع درجة الحرارة تصل إلى 39°C و الإسهال والغثيان والقيء وتشنجات البطن بعد 12-72 ساعة من التعرض، مصحوبة أيضاً ببراز رخو ودموي؛ (Adzitey et al., 2019). بمجرد عبوره البيئة المعادية للمعدة، يتم امتصاصه بواسطة الخلايا الظهارية المعوية ويتم إطلاقه في النسيج الضام الأساسي حيث يبدأ في التكاثر مما يشير إلى أن عدوى *S. Typhimurium* تتطور إلى تجرثم الدم ومضاعفات تمتدى إلى ما بعد الأمعاء، مثل عدوى المسالك البولية (UTI) والتهاب



السحايا والتهاب الشغاف والالتهاب الرئوي (Arii *et al.*, 2002). لذلك هدفت الدراسة الحالية التحري المظاهري والجزيئي عن بكتيريا *S. Typhimurium* في اسهال الأطفال في محافظة القادسية، بالإضافة إلى الكشف المظاهري عن عوامل الضراوة التي تمتلكها هذه البكتيريا.

Methodology

المواد و طرق العمل

Collect of diarrhea samples

جمع عينات الاسهال

جمعت 200 عينة من اسهال الاطفال المرضى المراجعين والراقدين في مستشفى الديوانية التعليمي ومستشفى النسائية والاطفال ومستشفى عفك والمستشفيات الاهلية والمختبرات الاهلية في محافظة القادسية ومن مختلف الاجناس وباعمراء مختلفة تراوحت بين 1-5 سنة ولمدة ثلاثة اشهر من 10/11/2022 الى 15/2/2023 تم جمع عينات الاسهال في حاويات بلاستيكية نظيفة ومعقمة وجافة ومانعة للترسب، ثم نقلت بصندوق مبرد و بشكل سريع للمختبر لزراعتها.

Phenotyping characterization

التصنيف المظاهري

أجري التشخيص الزراعي للعزلات بكتيريا السالمونيلا تيفيموريم المعزولة من اسهال الاطفال بالاعتماد على الصفات المظاهرية للمستعمرات البكتيرية من شكل ولون وقوام و نوع التخمر على وسط الماكونكي، والأوساط الانقائية والتفرíقية مثل وسط السالمونيلا – شيكلا SSA و وسط XLD و شخصت ايضاً بزراعتها على الوسط CHROM agar و وسط Bismuth agar، وحضرت الاوساط بدرجة 37° لمدة 24 ساعة، ثم اخذت مستعمرة او اكثر من المستعمرات النامية التي تعطي الصفات المميزة لبكتيريا السالمونيلا تيفيموريم، ثم اجريت عليها بقية الاختبارات الكيميويوبولوجية التأكيدية كما اجري الفحص المجهري للعزلات من خلال صبغها بصبغة كرام وفحصها تحت المجهر الضوئي لملحوظة شكل وترتيب ولون الخلايا (Procop *et al.*, 2018).

الكشف المظاهري عن بعض أنواع عوامل الضراوة لبكتيريا *S. Typhimurium*

Phenotypic detection of some virulence factors for *S. Typhimurium*

تم التحري عن عوامل الضراوة التي تمتلكها بكتيريا السالمونيلا تيفيموريم مظاهرياً وفق ما جاء في Faiz (2021).

1- الكشف عن انتاج انزيم المحلل للدم Detection of hemolysin enzyme production

تم التحري عن قابلية بكتيريا السالمونيلا تيفيموريم على إنتاج إنزيم الهيمولايسن، من خلال زراعتها على وسط الدم الأساس بطريقة التخطيط ثم حضرت الاطباق بدرجة حرارة 37° لمدة 24 ساعة، إذ يعد ظهور حالة شفافة محيطة بالمستعمرات البكتيرية على انتاج البكتيريا الهيمولايسن من النوع بيتا، اما مشاهدة منطقة خضراء محيطة بالمستعمرات البكتيرية هذا يدل على انتاج البكتيريا انزيم الهيمولايسن من النوع الفا، اما عدم ظهور منطقة شفافة حول المستعمرات البكتيرية هذا يدل على انتاج البكتيريا انزيم الهيمولايسن من النوع كاما.

2- الكشف عن انتاج انزيم البروتيز Detection of protease enzyme production

تم زرع عزلات بكتيريا السالمونيلا تيفيموريم على وسط الحليب الصلب بطريقة التخطيط بعدها حضرت الاطباق بدرجة حرارة 37° لمدة 24 ساعة، بعد ذلك يعد مشاهدة مناطق شفافة رائقة حول المستعمرات البكتيرية هذا يدل على إيجابية الكشف.

Detection of lipase enzyme

3- الكشف عن انتاج انزيم المحلل للدهون production

زرعت العزلات الندية من بكتيريا السالمونيلا تيفيموريم على وسط Tributyrin الصلب، بعدها حضرت الاطباق بحاضنة هوائية بدرجة حرارة 37° لمدة 24 ساعة، بعد ذلك يتم فحص الاطباق لمشاهدة المناطق الشفافة من عدمها.



Detection of bacterial adhesion

4- الكشف عن قابلية بكتيريا على الالتصاق

مزج 0.5 مل من العالق البكتيري مع 0.5 مل من عالق الخلايا الطلائية في أنبوبة معقمة و حضن في حاضنة هرازة بسرعة 40 دورة / دقيقة في درجة 37 ° لمدة ساعة واحدة ثم عرض المزيج إلى التنبذ المركزي وبسرعة 1000 دورة / دقيقة 5 دقائق، أهمل الرائق وعلق الراسب بمحلول الفوسفات المنظم (PBS) للتخلص من الخلايا غير الملتصقة. وأخذت قطرة من الخلايا المعلقة وفرشت على شريحة زجاجية نظيفة، جففت وثبتت باللهب وصبغت بصبغة البلورات البنفسجية وفحست بالمجهر الضوئي لمشاهدة الخلايا الملتصقة

Molecular characterization

التصنيف الجزيئي

Polymers Chain Reaction (PCR) technical

تقنية تفاعل البلمرة المتسلسل تم إجراء فحص تفاعل سلسلة البلمرة وذلك لإجراء التشخيص التأكدي لعزمات بكتيريا السالمونيلا تيفيموريم *S. Typhimurium* وكما يأتي يتكون تفاعل من عدة خطوات:

Genetics extraction

استخلاص المادة الوراثية

استخلاص الحامض النووي منقوص الاوكسجين لبكتيريا السالمونيلا تيفيموريم باستعمال عدة الاستخلاص (Genomic Extraction Kit)، المجهزة من قبل شركة (Geneaid)، الامريكية، وتمت عملية الاستخلاص وفق ما ورد من تعليمات الشركة المجهزة، بعد ذلك تم قياس نقاوة و تركيز الـDNA باستعمال جهاز القطرة النانوية عند الطول الموجي (260/280nm).

Primer

البادئ

تم استخدام بادئ خاص بجين *16S rRNA* التشخيصي الخاص ببكتيريا السالمونيلا تيفيموريم وذلك باستعمال موقع NCBI-Genbank وبرنامج تصميم البادئات primer3plus وتم تجهيز هذا البادئ عن طريق شركة Bioneer في كوريا كما في الجدول (1)

جدول (1) البادئ المستعمل في الدراسة

Primer	Sequence		Product Size
<i>16S rRNA</i>	*F	5- AGAGTTTGATCCTGGCTCAG-3	1500bp
	R	5-GGTTACCTTGTACGACTT-3	

R: Reversus

:

*البادئ الأمامي F: Forward

PCR

تحضير مزيج تفاعل البلمرة المتسلسل master mix

تم تحضير مزيج تفاعل البلمرة المتسلسل باستعمال عدة الـ AccuPower® PCR PreMix المجهزة من قبل شركة الـ Bioneer الكورية وبحسب تعليمات الشركة كما في الجدول أدناه:

جدول (2): مكونات مزيج تفاعل انزيم البلمرة Monoplex PCR master mix وحجمها

المادة	الكمية (μ l)
PCR master mix	12.5
DNA template	5
Forward Primer 10pmol	1.5
Reverse Primer 10pmol	1.5



PCR water	4.5
Total	25

Thermocycler PCR

برمجة جهاز الدورات الحرارية Program

استعمل جهاز PCR لغرض اجراء تفاعل بلمرة المتسلسل وتمت برمجة الجهاز كما في الجدول (3)

جدول (3) برمجة تفاعل البلمرة المتسلسل المستعمل لتضخيم الجين 16S rRNA

PCR step	Temperature (C°)	Time	Repeat
Initial Denaturation	95	5min	1
Denaturation	95	1 min	
Annealing	55	1 min	
Extension	72	2 min	
Final extension	72	5min	1
Hold	4	Forever	-

Agarose Gel Electrophoresis

الترحيل الكهربائي الهلامي

حضر هلام الاكاروز وفق طريقة Lee وجماعته (2012) وكالاتي :

- حضر الاكاروز بتركيز 1.5 % لترحيل عينات الـ DNA وذلك باستعمال دوارق زجاجية مقاومة للحرارة Erlenmeyer flask ثم اضيف محلول المنظم (TBE buffer) بتركيز (1X) الى هلام الاكاروز ومزج جيداً وذلك من خلال تدوير الدورق.
- ذوب هلام الاكاروز مع محلول المنظم بالتسخين في الصفيحة الحرارية الهزازة الممعنطة لمدة 30 دقيقة بعدها يخرج الدورق من الصفيحة ثم يهز حتى تمزج محتوياته جيداً وتكرر هذه العملية لحين ذوبان الاكاروز بشكل كامل .
- ترك الهلام الاكاروز ليبرد بدرجة حرارة الغرفة ثم اضيفت صبغة بروميد الايثيديوم (Ethidium Bromide) الى المزيج ليصبح التركيز النهائي في هلام الاكاروز 0.5 مايكروكرام / ملليلتر.
- صب الهلام في القالب (Tray)، وذلك بعد غلق حافتي القالب ووضع المشط (Comb)، المكون للحفر في حافة القالب ثم يترك ليتصلب بدرجة حرارة الغرفة لمدة 30 دقيقة بعد التصلب يتم ازالة المشط وفتحنا القالب ووضع الهلام في حوض الترحيل الكهربائي.
- اضيفت صبغة التحميل الى عينات الـ DNA وذلك بواقع اضافة جزء واحد من هذه الصبغة الى كل خمسة اجزاء من الـ DNA، اذ تعمل هذه الصبغة على جعل حزم DNA مرئية كما تنقل الـ DNA في حفر الهلام .
- استعمل سلم القياس (DNA Ladder) بحجم (100-2000) زوج قاعدي وذلك لغرض قياس حجم الـ DNA المضخم .
- اضيف محلول (TBE buffer) بتركيز X1 الى هلام الاكاروز وبعد ذلك يتم غلق غطاء الترحيل الكهربائي ثم توصل اقطاب حوض الترحيل بمجهز الطاقة بعدها يشغل جهاز الترحيل باستعمال تيار 100 فولت و 80 امبير لمدة ساعة كاملة.
- بعد انتهاء عملية الترحيل يتم فحص هلام الاكاروز الذي يحتوي على ناتج الـ PCR وذلك باستعمال مصدر الاشعة فوق البنفسجية (U.V Light Source) لتحديد حزم الوراثية وقياس الاوزان الجزيئية عند مقارنتها بالقيم القياسية للدنا القياسي (DNA Marker).



Results and discussion

النتائج و المناقشة
 بينت نتائج الدراسة الحالية أن (200) طفل مصاب بالإسهال الذين تتراوح أعمارهم بين (5-1) سنة في محافظة القادسية، وقد يكون السبب هو التعرض المفرط لمصادر الطعام الملوثة والمشروبات والمراهقين الملوثة (Rajbhandari *et al.*, 2020) وكذلك بسبب الظروف غير الصحية للأطفال ونقص المناعة، وارتفاع نفاذية الغشاء المخاطي، وسوء الامتصاص (Afzalpurkar *et al.*, 1992) وأظهرت الدراسة ان الذكور اعلى نسبة إصابة بمعدل (60%) ونسبة عينات الإناث (40%)، قد يكون السبب هو العادات الاجتماعية المختلفة المعمول بها والتي تسمح للذكور بمزيد من الحرية في البقاء خارج المنزل وتناول الطعام من الباقة الجوالين، وبالتالي يصبحون أكثر عرضة للإصابة. هناك فرضية بيولوجية تفترض أنه قد تكون هناك اختلافات فيزيولوجية مرضية بين الفتيات والفتيان فيما يتعلق بالإسهال الحاد، مما يجعل الأطفال أكثر عرضة للإصابة (Sizya *et al.*, 2013). تقترح النظريات البيئية فرضيات مختلفة حسب الجنس. على سبيل المثال، قد يسمح للأطفال الأكبر سنًا بمزيد من الحرية في التجول في المنزل أو الذهاب للعمل مع والديهم، مما يعرضهم بشكل غير مناسب لمسببات الأمراض المعدية (Anteneh *et al.*, 2017). كانت الإصابة أكثر في المناطق الريفية في محافظة القادسية وقد تكون بعض حالات العرق والتعب ونقص الوزن من بين المخاطر الرئيسية للإصابة بالإسهال لدى الأطفال دون سن الخامسة.

العزل و التشخيص المظاهري لبكتيريا السالمونيلا تيفيموريم

Isolation and Identification of Phenotype for *S. Typhimurium*

تم عزل و تشخيص 14 عزلات بنسبة 7% من بكتيريا السالمونيلا تيفيموريم من اصل 200 عينة اسهال جمعت من أطفال دون سن الخامسة من العمر، تم تشخيصها مظاهرياً اعتماداً على الصفات المظاهرية والزرعية من خلال زراعتها على الأوساط الزرعية التشخيصية و التقريرية، تميزت بكتيريا *S. Typhimurium* بإنتاجها مستعمرات كبيرة خضراء اللون على الوسط التشخيصي Chrome agar كما ظهر في الشكل (A)، و انتجت بكتيريا *S. Typhimurium* S. عند زراعتها على وسط SS agar مستعمرات صغيرة ومستديرة عدية اللون ذات مركز اسود اللون صغير اشبه برأس الدبوس كما في الشكل (B)، كما أعطت عند زراعتها على وسط XLD الصلب مستعمرات صغيرة شاحبة ملساء ذات مركز اسود اللون كبير و ذلك بسبب قدرتها على انتاج غاز (H_2S), كما واضح في الشكل (C)، و أظهرت مستعمرات سوداء اللون على وسط Bismuth agar كما في الشكل (D)، كما تمكنت بكتيريا *S. Typhimurium* من النمو على وسط MacConkey agar و أظهرت مستعمرات صغيرة شاحبة محدية غير مخمرة لسكر اللاكتوز كما واضح في الشكل (E)، بالإضافة الى ذلك تمت زراعتها على وسط Nutrient agar أظهرت مستعمرات صغيرة ناعمة ذات لون شاحب مع ظهور بقع سوداء اللون. كما شخصت بكتيريا *S. Typhimurium* مجهرياً إذ أظهرت بشكل عصيات منفردة سالبة لصبغة كرام تحت المجهر الضوئي، كما شخصت بكتيريا السالمونيلا تيفيموريم باستعمال اختبار الكيميويحيوية فأظهرت النتائج اجابيتها لاختبارات Catalase و Citrate و Methyl Red و Motility و Urease و Voges Proskauer للاختبارات Indole و Oxidase، و أعطت نتيجة إيجابية لاختبار TSI و انتاجها غاز (H_2S). كما في الجدول أدناه

الجدول (4): يوضح الاختبارات الكيميويحيوية لبكتيريا السالمونيلا تيفيموريم.

N	Biochemical test Result	<i>S. Typhimurium</i>
1	Catalase test	+
2	Oxidase test	-
3	Urea test	-
4	Motility test	+
5	Indole test	-

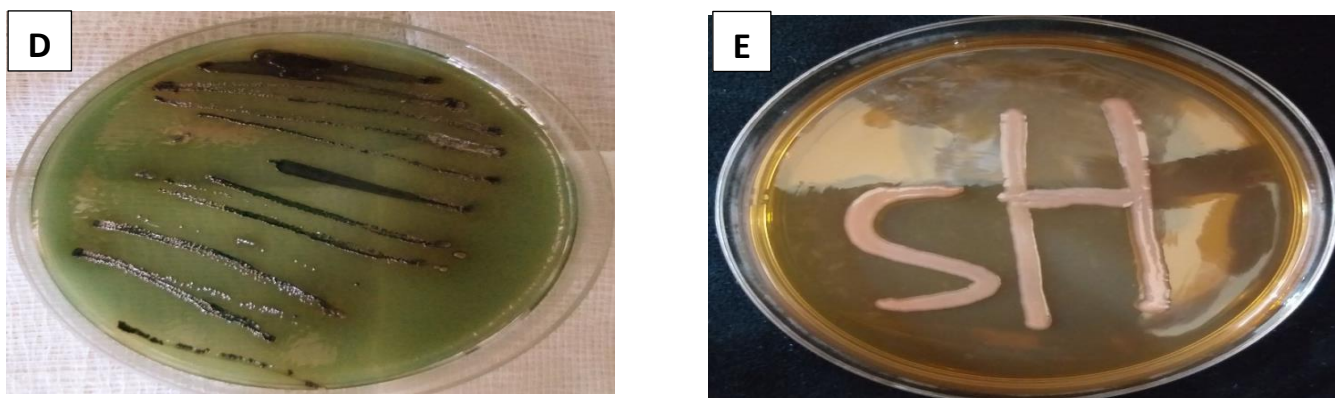


6	Methyl Red test	+
7	Voges Proskauer test	-
8	Citrate utilization test	+
9	TSI test	K A , with H ₂ S,With gas or Without

+: إيجابية النتيجة، -: سالبة النتيجة ، K: الوسط قاعدي ، A: الوسط حامضي.

جاءت نتائج هذه الدراسة متوافقة مع نتائج دراسة Yousif and Harb (2011). إذ عزل 5 عزلات بنسبة 7.8% من اسهال الأطفال في محافظة ذي قار. و كما كانت دراستنا متقاربة مع ما توصل اليه AL-zubaidy (2019)، إذ عزل 5 عزلات من بكتيريا السالمونيلا تيفيموريم بنسبة 5% من اسهال الأطفال في محافظات الانبار و ديالى و صلاح الدين، لكن اختلفت مع دراسة Zaman و جماعته (2021)، اللذين عزلوا بكتيريا بنسبة 12.7% من اسهال الأطفال في مدينة كركوك.

بكتيريا السالمونيلا باعتبارها أحد العوامل البيولوجية المسيطرة على لأمراض المنقوله عن طريق الأغذية، تشكل خطراً على صحة الإنسان 1. وفقاً لبيانات منظمة الصحة العالمية (WHO) في عام 2021، كان هناك 58 حادثة تتعلق بسلامة الأغذية سببتها السالمونيلا في 86 من الدول العالم 2. يحتل معدل الإصابة بالسالمونيلا تيفيموريم المرتبة الأولى بين عدوى السالمونيلا ويمكن أن يسبب *S. Typhimurium*.



عدوى *Typhimurium* المستشفيات والتسمم

الغذائي السريع مع معدل وفيات مرتفع. يعد التشخيص الدقيق والكشف عن بكتيريا *S. Typhimurium* أمراً مهماً للوقاية المبكرة من عدوى الأمراض المنقوله بالأغذية وتفشيها والتشخيص والسيطرة عليها.3. لذلك، فإن تقنية الكشف عن *S. Typhimurium* هي نقطة بحث مهمة في الصحة العامة. تشمل طرق الكشف التقليدية عن *S. Typhimurium* اعتماداً على الخصائص الزرعية التي تمتلكها على الأوساط الزرعية او باستعمال جهاز الاليزا ELISA، او استعمال تقنية تفاعل البلمرة المتسلسل PCR.



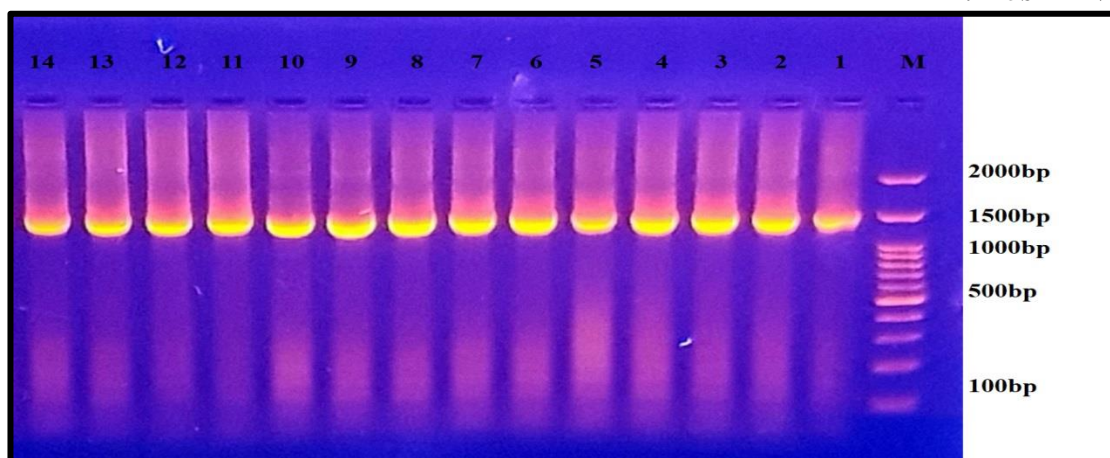
الشكل 1: التوصيف المظاهري لبكتيريا على الأوساط الزرعة A- وسط Chrome agar و-B وسط MacConkey agar و C و D - وسط XLD و E – وسط الـ Bismuth agar agar

التوصيف الجزيئي لبكتيريا السالمونيلا تيفيموريم

Molecular characterization for *S. Typhimurium*

اجري التشخيص الجزيئي للعزلات قيد الدراسة من خلال استعمال تقنية الـ PCR بالاعتماد على الجين التشخيصي الـ *16S rRNA* لامتياز هذا الجين بالثبات وعدم التغير لفترة زمنية طويلة في النوع البكتيري، إذ اظهرت النتائج ان الجين التشخيصي الخاص ببكتيريا الـ *S. Typhimurium* موجود في جميع العزلات وبنسبة 100%，لواحظ ظهور حزم وراثية لجميع العزلات المُرحلة بمستوى واحد فهذا يدل على ارتباط البادئ بالسلسل المتمم له في شريط الـ DNA البكتيري، ثم قدرت الاوزان الجزيئية للحزم الوراثية الناتجة بالاعتماد على حزم قياسية معلومة الاوزان الجزيئية الواضحة في المسار (M) بحجم متدرج (100-200bp) إذ اظهرت النتائج تماثل واضح للوزن الجزيئي للحزم الناتجة التي كانت (1500bp) مع الوزن الجزيئي للجين التشخيصي *16s rRNA*.

فجاءت نتائج التشخيص الجزيئي مطابقة لنتائج التشخيص المظاهري والتوصيف باستعمال جهاز الفايتاك- 2 إذ بینت النتائج ان 7 عزلات تعود لبكتيريا *S. Typhimurium* من خلال امتلاك كل عزلة حزم وراثية بحجم 1500 زوج قاعدي كما في الشكل (2)، وأن سبب ظهور الحزم الوراثية هو أن تسلسل بادئ هذا الجين الخاص ببكتيريا *S. Typhimurium* قد وجد التسلسل المماثل له ضمن التركيب الوراثية لذلك نجح في الارتباط، و يعد ظهور الحزم الوراثية دليلاً على الخصوصية العالية و التنوع الكبير لجين التشخيصي . *16s rRNA*



الشكل (2): الترhill الكهربائي لنتائج تفاعل البلمرة المتسلسل لجين الـ *16S rRNA* 1500 زوج قاعدي (2) لعزلات بكتيريا الـ *S. Typhimurium* على هلام الاكاروز 1.5% وفولتية 70 وتيار 80 امير ولمدة ساعة واحدة، العمود M يمثل DNA ladder بحجم (100bp-2000bp).

بعد التشخيص الجزيئي باستعمال تقنية التفاعل البلمرة المتسلسل للعزلات البكتيرية السريرية من ضمنها النمط المصلبي *S. Typhimurium*. احد التقنيات المهمة في ابحاث التشخيص السريرية نظراً للدقة في التشخيص السريع مقارنة بطرق التشخيص الأخرى مثل التشخيص المظاهري و الكيميوحيوي إلى جانب أنها تساعده في تقليل المتطلبات للزراعة. بالإضافة على ذلك، يمكننا الحفاظ على المادة الوراثية لفترة طويلة (Riegman et al., 2019).



التخسيص السريع والمباشر عن بكتيريا السالمونيلا تيفيموريم

Direct rapid identification of *S. Typhimurium* by VITEK- 2 compact

تم استعمال جهاز الفايتك في التخسيص السريع عن بكتيريا *S. Typhimurium* هو تأكيد لنتائج التخسيص المظاهري السابقة جاءت النتائج مؤكدة و مطابقة لنتائج الاختبارات المظاهريه من خلال تشخيص 14 عزلات تابعة لبكتيريا *S. Typhimurium* كما في الشكل (3).

Patient Name: 2, Location: Lab ID: 95	Patient ID: 2 Physician Isolate Number: 1																																																																																																																														
Organism Quantity: Selected Organism : Salmonella ser.Typhimurium																																																																																																																															
Source: Diarrhea	Collected:																																																																																																																														
Comments:																																																																																																																															
<table border="1"> <tr> <td>Identification Information</td> <td>Analysis Time: 3.93 hours</td> <td>Status: Final</td> </tr> <tr> <td>Selected Organism</td> <td colspan="2">98% Probability Salmonella ser.Typhimurium</td> </tr> <tr> <td>Bionumber:</td> <td colspan="2">0015610465026200</td> </tr> <tr> <td>ID Analysis Messages</td> <td colspan="2"></td> </tr> </table>		Identification Information	Analysis Time: 3.93 hours	Status: Final	Selected Organism	98% Probability Salmonella ser.Typhimurium		Bionumber:	0015610465026200		ID Analysis Messages																																																																																																																				
Identification Information	Analysis Time: 3.93 hours	Status: Final																																																																																																																													
Selected Organism	98% Probability Salmonella ser.Typhimurium																																																																																																																														
Bionumber:	0015610465026200																																																																																																																														
ID Analysis Messages																																																																																																																															
<table border="1"> <thead> <tr> <th colspan="14">Biochemical Details</th> </tr> </thead> <tbody> <tr> <td>2 APPA</td> <td>-</td> <td>3 ADO</td> <td>-</td> <td>4 PyrA</td> <td>-</td> <td>5 IARL</td> <td>-</td> <td>7 dCEL</td> <td>-</td> <td>9 BGAL</td> <td>-</td> <td></td> <td></td> </tr> <tr> <td>10 H2S</td> <td>+</td> <td>11 BNAG</td> <td>-</td> <td>12 AGLTp</td> <td>-</td> <td>13 dGLU</td> <td>+</td> <td>14 GGT</td> <td>-</td> <td>15 OFF</td> <td>+</td> <td></td> <td></td> </tr> <tr> <td>17 BGLU</td> <td>-</td> <td>18 dMAL</td> <td>+</td> <td>19 dMAN</td> <td>+</td> <td>20 dMNE</td> <td>+</td> <td>21 BXYL</td> <td>-</td> <td>22 BAlap</td> <td>-</td> <td></td> <td></td> </tr> <tr> <td>23 ProA</td> <td>-</td> <td>26 LIP</td> <td>-</td> <td>27 PLE</td> <td>-</td> <td>29 TyrA</td> <td>-</td> <td>31 URE</td> <td>-</td> <td>32 dSOR</td> <td>+</td> <td></td> <td></td> </tr> <tr> <td>33 SAC</td> <td>-</td> <td>34 dTAG</td> <td>+</td> <td>35 dTRE</td> <td>+</td> <td>36 CIT</td> <td>+</td> <td>37 MNT</td> <td>-</td> <td>39 5KG</td> <td>+</td> <td></td> <td></td> </tr> <tr> <td>40 ILATk</td> <td>-</td> <td>41 AGLU</td> <td>-</td> <td>42 SUCT</td> <td>-</td> <td>43 NAGA</td> <td>-</td> <td>44 AGAL</td> <td>+</td> <td>45 PHOS</td> <td>-</td> <td></td> <td></td> </tr> <tr> <td>46 GlyA</td> <td>-</td> <td>47 ODC</td> <td>+</td> <td>48 LDC</td> <td>+</td> <td>53 IHisa</td> <td>-</td> <td>56 CMT</td> <td>+</td> <td>57 BGUR</td> <td>-</td> <td></td> <td></td> </tr> <tr> <td>58 O129R</td> <td>-</td> <td>59 GGAA</td> <td>-</td> <td>61 IMLTa</td> <td>-</td> <td>62 ELLM</td> <td>-</td> <td>64 ILATa</td> <td>-</td> <td></td> <td></td> <td></td> <td></td> </tr> </tbody> </table>		Biochemical Details														2 APPA	-	3 ADO	-	4 PyrA	-	5 IARL	-	7 dCEL	-	9 BGAL	-			10 H2S	+	11 BNAG	-	12 AGLTp	-	13 dGLU	+	14 GGT	-	15 OFF	+			17 BGLU	-	18 dMAL	+	19 dMAN	+	20 dMNE	+	21 BXYL	-	22 BAlap	-			23 ProA	-	26 LIP	-	27 PLE	-	29 TyrA	-	31 URE	-	32 dSOR	+			33 SAC	-	34 dTAG	+	35 dTRE	+	36 CIT	+	37 MNT	-	39 5KG	+			40 ILATk	-	41 AGLU	-	42 SUCT	-	43 NAGA	-	44 AGAL	+	45 PHOS	-			46 GlyA	-	47 ODC	+	48 LDC	+	53 IHisa	-	56 CMT	+	57 BGUR	-			58 O129R	-	59 GGAA	-	61 IMLTa	-	62 ELLM	-	64 ILATa	-				
Biochemical Details																																																																																																																															
2 APPA	-	3 ADO	-	4 PyrA	-	5 IARL	-	7 dCEL	-	9 BGAL	-																																																																																																																				
10 H2S	+	11 BNAG	-	12 AGLTp	-	13 dGLU	+	14 GGT	-	15 OFF	+																																																																																																																				
17 BGLU	-	18 dMAL	+	19 dMAN	+	20 dMNE	+	21 BXYL	-	22 BAlap	-																																																																																																																				
23 ProA	-	26 LIP	-	27 PLE	-	29 TyrA	-	31 URE	-	32 dSOR	+																																																																																																																				
33 SAC	-	34 dTAG	+	35 dTRE	+	36 CIT	+	37 MNT	-	39 5KG	+																																																																																																																				
40 ILATk	-	41 AGLU	-	42 SUCT	-	43 NAGA	-	44 AGAL	+	45 PHOS	-																																																																																																																				
46 GlyA	-	47 ODC	+	48 LDC	+	53 IHisa	-	56 CMT	+	57 BGUR	-																																																																																																																				
58 O129R	-	59 GGAA	-	61 IMLTa	-	62 ELLM	-	64 ILATa	-																																																																																																																						

الشكل (3): يوضح نتائج تشخيص بكتيريا *S. Typhimurium* بجهاز الفايتك-2

الكشف المظاهري عن بعض عوامل الضراوة لبكتيريا السالمونيلا تيفيموريم

Phenotype detection of some virulence factors for *S. Typhimurium*

1- الكشف عن انتاج انزيم المحلل للدم Detection of hemolysin enzyme production

اظهرت هذه الدراسة قابلية بكتيريا بنسبة 100% قدرتها على انتاج انزيم الهيمولايسم من نوع بيتا-هيمولايسمين من خلال ما احدثه من حالة شفافة محبيطة بمستعمرات البكتيريا كما في الشكل (4 A). يعد انزيم الـ Hemolysin احد عوامل الضراوة المهمة التي تمتلكها بكتيريا السالمونيلا التيفيموريم الذي يعمل على تحليل كريات الدم الحمراء للحصول على مغذيات ضرورية مهمة لنموها مما يسبب تأثيراً سلبياً على المضييف (Mare et al., 2017).

2- الكشف عن انتاج انزيم البروتيز Detection of protease enzyme production

أثبتت جميع عزلات بكتيريا السالمونيلا تيفيموريم قيد الدراسة قابليتها على انتاج انزيم البروتيز من خلال ما انتجه من حالة شفافة رائفة محبيطة بالمستعمرات كما في الشكل (4 B)، إذ اظهرت دراسة (Freire و آخرون عام 2020)، أن من اهم مسببات العدوى و انتشار البكتيريا المعدية في الجسم هو نتاجها انزيم الـ Protease الذي يمكن أن يتسبب في تلف الانسجة و تحطيم جزيئات نظام المتمم و تثبيط دوره المناعي.

3- الكشف عن انتاج انزيم المحلل للدهون Detection of lipase enzyme production

اثبتت الدراسة الحالية قدرة عزلات بكتيريا التيفيموريم بعد زراعتها على وسط Tributyrin على انتاج انزيم Lipase من خلال ملاحظة تكون حالة شفافة محبيطة بالمستعمرات و هذا دليل على قدرة البكتيريا



على تحطيم الدهون و تحطيم الانسجة. يعد انتاج هذا الانزيم من اهم علامات الامراضية التي تمتلكها البكتيريا الذي يعمل على تحطيم الخلايا الدهنية و تحرير المغذيات و يعمل هو على استعمار البكتيري في الغدد و الخلايا الدهنية بالجسم (Hinkel and Wargo, 2020).

4- الكشف عن قابلية بكتيريا على الالتصاق

Detection of the ability of bacterial on adhesion

أظهرت هذه الدراسة قدرة جميع عزلات بكتيريا على الالتصاق *S. Typhimurium* على الخلايا الطائية اتفقت مع دراسة Yin وجماعته (2022) تساهم العديد من عوامل الضراوة المسببة للأمراض فيبقاء هذه البكتيريا في المضيف، بما في ذلك الحمل البكتيري والسموم المعاوية وجزر الامراضية، وما إلى ذلك. تضع السالمونيلا استراتيجيات مختلفة للالتصاق بالأنسجة المضيفة من خلال التعبير عن عدد هائل من الخمائل، والتي تلعب دوراً مهماً في الالتصاق من البكتيريا إلى الخلايا الظهارية وفي استعمار الغشاء المخاطي المعاوي الدقيق (Yin et al., 2022).

الشكل (4): يوضح عوامل الضراوة A - الهيمولايسن و B- البروتيز في بكتيريا السالمونيلا تيفيموريم.



References



المصادر

- Adzitey, F., Agbosu, A., & Udoka, U. J. (2019). Antibacterial effect of Aloe Vera gel extract on *Escherichia coli* and *Salmonella enterica* isolated from the gastrointestinal tract of Guinea fowls. *World's Veterinary Journal*, 9(3), 166-173.
- Afzalpurkar, R. G., Schiller, L. R., Little, K. H., Santangelo, W. C., & Fordtran, J. S. (1992). The self-limited nature of chronic idiopathic diarrhea. *New England Journal of Medicine*, 327(26), 1849-1852.
- AL-zubaidy, G. A. (2019). *Isolation and Molecular Detection of Salmonella Typhimurium from Human and Ruminants Fecal Sample with Histopathological Study of Some Internal Organ* (Doctoral dissertation, Msc. Thesis, Vet. Med. College/University of Baghdad).
- Anteneh, Z. A., Andargie, K., & Tarekegn, M. (2017). Prevalence and determinants of acute diarrhea among children younger than five years old in Jabithennan District, Northwest Ethiopia, 2014. *BMC public health*, 17(1), 1-8.



- Arii, J., Tanabe, Y., Miyake, M., Mukai, T., Matsuzaki, M., Niinomi, N., ... & Noda, M. (2002). Clinical and pathologic characteristics of nontyphoidal salmonella encephalopathy. *Neurology*, 58(11), 1641-1645.
- Faiz, S., Nasreen, Z., Sha, A., & Naz, S. (2020). 18. Isolation, screening and characterization of lipase from bacterial isolates and its application in detergents and oily waste water degradation. *Pure and Applied Biology (PAB)*, 10(1), 209-224.
- Freire, C. A., Santos, A. C. M., Pignatari, A. C., Silva, R. M., & Elias, W. P. (2020). Serine protease autotransporters of Enterobacteriaceae (SPATEs) are largely distributed among *Escherichia coli* isolated from the bloodstream. *Brazilian Journal of Microbiology*, 51, 447-454.
- Gorrasi, S., Pasqualetti, M., Franzetti, A., Gonzalez-Martinez, A., Gonzalez-Lopez, J., Muñoz-Palazon, B., & Fenice, M. (2021). Persistence of Enterobacteriaceae drawn into a marine saltern (Saline di Tarquinia, Italy) from the adjacent coastal zone. *Water*, 13(11), 1443.
- Hinkel, L. A., & Wargo, M. J. (2020). Participation of Bacterial Lipases, Sphingomyelinases, and Phospholipases in Gram-Negative Bacterial Pathogenesis. *Health Consequences of Microbial Interactions with Hydrocarbons, Oils, and Lipids*, 181-203.
- Lee, S. V., & Bahaman, A. R. (2012). Discriminatory power of agarose gel electrophoresis in DNA fragments analysis. *Gel Electrophoresis-Principles and Basics*, 41-56.
- Lee, S. Y., Chen, F., & Lee, T. Y. (2021). Tryptamine-functionalized magnetic nanoparticles for highly sensitive detection of *Salmonella typhimurium*. *Analyst*, 146(8), 2559-2566.
- Legba, B., Dougnon, V., Chabi, Y., Gbaguidi, C., Aniambossou, A., Deguenon, E., ... & Baba-Moussa, L. (2020). Evaluation of in-vivo anti-*Salmonella* activity of *Uvaria chamae*, *Lantana camara* and *Phyllanthus amarus* used in Benin, West Africa. *BMC veterinary research*, 16(1), 1-18.
- Manoj, J., & Singh, M. K. (2015). SinghYP (2015). The role of poultry in food borne salmonellosis and its public health importance. *Adv. Anim. Vet. Sci*, 3(9), 485-490.
- Mare, A., Man, A., Toma, F., Ciurea, C. N., Coșeriu, R. L., Vintilă, C., & Maier, A. C. (2020). Hemolysin-producing strains among diarrheagenic *Escherichia coli* isolated from children under 2 years old with diarrheal disease. *Pathogens*, 9(12), 1022.
- Mladenović, K. G., Grujović, M. Ž., Kiš, M., Furmeg, S., Tkalec, V. J., Stefanović, O. D., & Kocić-Tanackov, S. D. (2021). Enterobacteriaceae in food safety with an emphasis on raw milk and meat. *Applied Microbiology and Biotechnology*, 1-13.



- Procop, G. W., Church, D. L., Hall, G. S., Janda, W. M., Koneman, E. W., Schreckenberger, P. C., & Woods, G. L. (2018). Koneman's color atlas and textbook of diagnostic microbiology, 29-60.
- Raffatellu, M., Santos, R. L., Verhoeven, D. E., George, M. D., Wilson, R. P., Winter, S. E., ... & Bäumler, A. J. (2008). Simian immunodeficiency virus-induced mucosal interleukin-17 deficiency promotes *Salmonella* dissemination from the gut. *Nature medicine*, 14(4), 421-428.
- Riegman, P. H. J., Becker, K. F., Zatloukal, K., Pazzagli, M., Schröder, U., & Oelmüller, U. (2019). How standardization of the pre-analytical phase of both research and diagnostic biomaterials can increase reproducibility of biomedical research and diagnostics. *New biotechnology*, 53, 35-40.
- Rajbhandari, P., Brown, A., Patel, V., Mandelia, Y., & El-Hallak, M. (2020). Prolonged Fever, Diarrhea, Abdominal Pain, and Joint Pain in a 9-Year-Old
- Sizya, S., Muula, A. S., & Rudatsikira, E. (2013). Correlates of diarrhoea among children below the age of 5 years in Sudan. *African health sciences*, 13(2), 376-383.
- Takele, S., Woldemichael, K., Gashaw, M., Tassew, H., Yohannes, M., & Abdissa, A. (2018). Prevalence and drug susceptibility pattern of *Salmonella* isolates from apparently healthy slaughter cattle and personnel working at the Jimma municipal abattoir, south-West Ethiopia. *Tropical diseases, travel medicine and vaccines*, 4, 1-7.
- WHO, O. (2017). One health. World Health Organization, 736.
- Yin, L., Dai, Y., Chen, H., He, X., Ouyang, P., Huang, X., Sun, X., Ai, Y., Lai, S., Zhu, L., & Xu, Z. (2022). Cinnamaldehyde Resist *Salmonella Typhimurium* Adhesion by Inhibiting Type I Fimbriae. *Molecules* (Basel, Switzerland), 27(22), 7753. <https://doi.org/10.3390/molecules27227753>.
- Zaman, N. A., & Mohammed, P. L. (2021). Detection of *Salmonella*, *Shigella* and *Candida* spp. in stool from diarrheal children and evaluation the heating effect on *Salmonella* phage in Kirkuk city. *Tikrit Journal of Pure Science*, 26(4), 6-11.